

УДК 537.311.33

© 1990

## КИНЕТИЧЕСКИЕ ЯВЛЕНИЯ В АНТИФЕРРОМАГНИТНОМ ПОЛУПРОВОДНИКЕ EuTe В СЛАБЫХ И СИЛЬНЫХ ЭЛЕКТРИЧЕСКИХ ПОЛЯХ

*B. A. Костылев, A. A. Самохвалов*

Было установлено, что при  $T \leq T_N$  контакты из индия в EuTe образуют барьеры Шотки. По времени пролета через образец инжектированного избыточного заряда была определена дрейфовая подвижность ( $\sim 160 \text{ см}^2 \cdot \text{В}^{-1} \cdot \text{с}^{-1}$ ). Вольт-амперные характеристики в области магнитного упорядочения имеют N-образный вид. Предполагается, что появление отрицательной дифференциальной проводимости в данном соединении обусловлено генерацией магнонов дрейфующими носителями заряда.

Недавними исследованиями показано, что в ферромагнитных полупроводниках взаимодействие дрейфующих носителей заряда (НЗ) с магнонами приводит к их разогреву, увеличению или генерации [1, 2]. В результате в сильном электрическом поле изменяются многие физические свойства и параметры ферромагнитных полупроводников, например намагниченность, электропроводность, затухание спиновых волн, магнитооптические параметры и т. д. В частности, на вольт-амперных характеристиках (ВАХ) появляются участки отрицательной дифференциальной проводимости, что представляет существенный научный и практический интерес [3]. Подобные явления могут наблюдаться и в антиферромагнитных полупроводниках, причем в ряде случаев даже более эффективно, чем в ферромагнитных, например, в связи с разрешенностью для антиферромагнетиков одномагнонных процессов [4, 5].

Настоящая работа содержит результаты первых исследований некоторых кинетических явлений и параметров электрон-магнонного взаимодействия в монокристаллах антиферромагнитного полупроводника EuTe с *n*-типов проводимости в температурной области 4–300 К, включающей как область магнитного упорядочения ( $T \leq 9.6$  К), так и парамагнитную область.

Были исследованы удельное электросопротивление  $\rho$ , магнитосопротивление  $\Delta \rho / \rho$ , эффект Холла и ВАХ монокристаллических образцов EuTe с различной электропроводностью. Образцы представляли собой прямоугольные пластинки с размерами  $4 \times 1.2 \times 1.2$  мм. Контакты изготавливались путем пайки чистым индием. Электросопротивление и эффект Холла измерялись обычным двух- и четырехконтактным способом в магнитных полях до 2.5 Тл. ВАХ исследованы с помощью импульсной методики четырехконтактным способом на импульсах длительностью 10 мкс и с частотой следования до 25 Гц [6].

Исследовались два типа образцов, которые имели удельное электросопротивление при 300 К  $\rho_1 \approx 10^{-1}$  и  $\rho_2 \approx 10^{-2}$  Ом·см, а холловская концентрация и подвижности равны соответственно  $n_1 \approx 4.8 \cdot 10^{18}$ ,  $n_2 \approx 1.2 \times 10^{19} \text{ см}^{-3}$ ,  $\mu_1 \approx \mu_2 \approx 19 \text{ см}^2 \cdot \text{В}^{-1} \cdot \text{с}^{-1}$ . При понижении температуры до 60 К  $\rho$ ,  $n$  и  $\mu$  практически не изменялись. Ниже 30 К в обоих случаях  $\rho$  начинает резко возрастать, и при 4 К  $\rho_1 \approx 10^6$ ,  $\rho_2 \approx 10^1$  Ом·см. В точке Нееля на зависимостях  $\rho$  ( $T$ ) видна ступенька (рис. 1). В работе [7] рост  $\rho$  вблизи

$T_N$  связывают с образованием ферронов. Вблизи  $T_N$  невозможно разделить обычновенную и аномальную части эффекта Холла и соответственно оценить  $n$  и  $\mu$ .

Магнитосопротивление  $\Delta \rho/\rho$  ниже  $T_N$  отрицательное, и его величина тем выше, чем ниже  $\rho$  (рис. 2). Величины  $\Delta \rho_{\parallel}/\rho$  (когда  $H \parallel I$ ) и  $\Delta \rho_{\perp}/\rho$

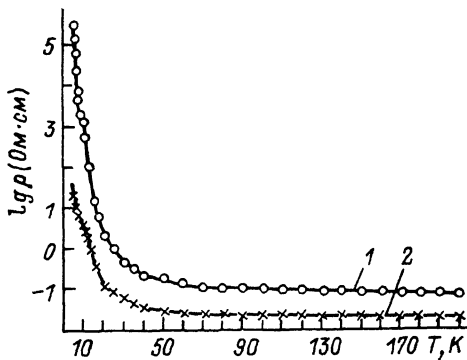


Рис. 1. Зависимость  $\rho(T)$  образцов № 1 (1) и № 2 (2).

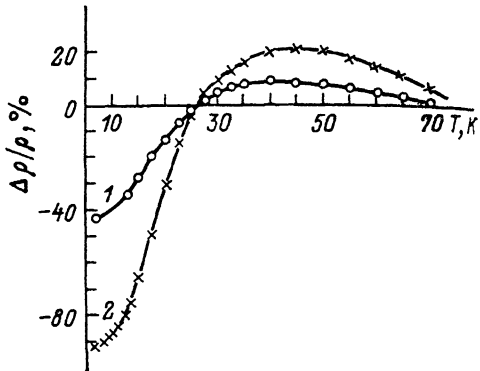


Рис. 2. Зависимость  $\Delta \rho/\rho(T)$  образцов № 1 (1) и № 2 (2).

(когда  $H \perp I$ ) совпадают. Зависимость  $(\Delta \rho/\rho)(H)$  подобна аналогичной зависимости для ферромагнетиков, однако насыщение в больших полях отсутствует. С повышением температуры магнитосопротивление уменьшается и выше 25 К становится положительным, достигая максимального значения при 50 К.

У высокоменных образцов № 1 ВАХ в области магнитного упорядочения имеют N-образный вид. При повышении температуры участок отри-

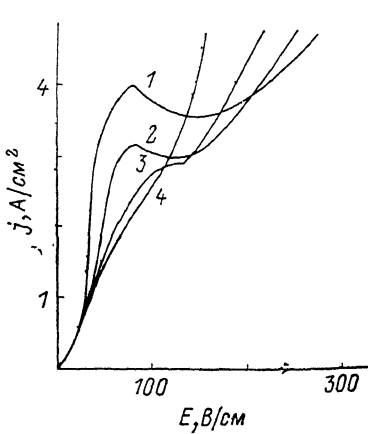


Рис. 3. ВАХ образцов № 1 в отсутствие магнитного поля при  $T=4$  (1), 8 (2), 9 (3) и 11 К (4).

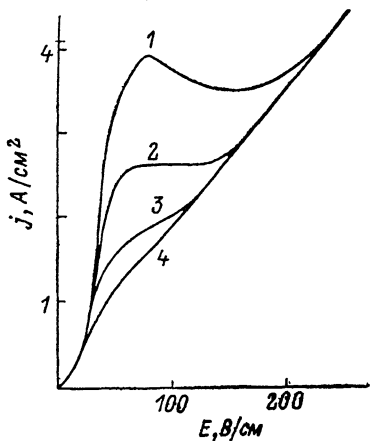


Рис. 4. ВАХ образцов № 1 в отсутствие магнитного поля (1) и  $H=0.1$  (2), 1 (3), 2 Тл (4).

цательной дифференциальной проводимости (ОДП) уменьшается и выше  $T_N$  исчезает, а ВАХ становится линейной (рис. 3). Включение магнитного поля также приводит к спрямлению ВАХ (рис. 4).

На рис. 5 приведены временные диаграммы импульсов напряжения  $U(t)$  (подаваемых на образец с генератора), напряженности поля в образце  $E(t)$  и тока, текущего в цепи  $I(t)$  при температуре 4 К. При импульсах напряжения  $\leq 250$  В поле в объеме образца не проникает и все напряжение практически падает в приконтактном слое. Когда  $U$  превышает 250 В, ток, текущий через образец, резко возрастает и в объем образца начинает проникать поле (рис. 5, a). Однако импульсы  $U$ ,  $E$  и  $I$  сдвинуты относительно друг друга по времени. Импульс  $I$  сдвинут относительно

$E$  на  $\delta$ -образную часть. При увеличении  $U$  сдвиг по времени между  $U$ ,  $E$  и  $I$  уменьшается (рис. 5, б). Включение магнитного поля также вызывает уменьшение временного сдвига между импульсами  $U$ ,  $E$  и  $I$ . Одновре-

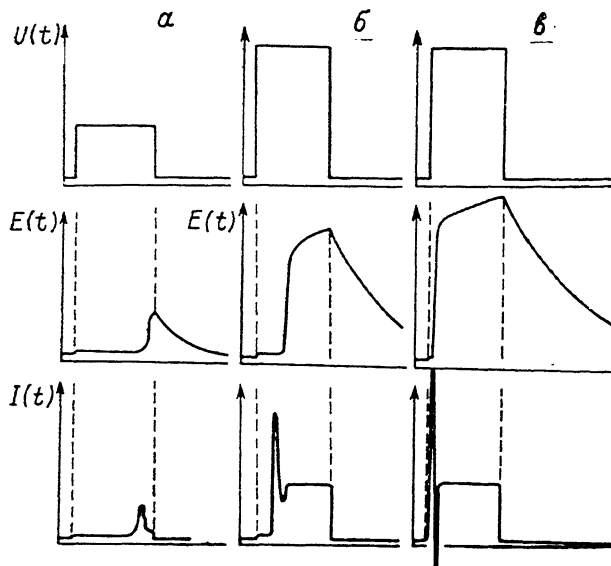


Рис. 5. Временная диаграмма импульсов напряжения, подаваемого в цепь с генератора  $U(t)$ , напряженности поля в образце  $E(t)$  и тока, текущего в цепи  $I(t)$ . Образец № 1.

менно увеличивается амплитуда  $E$  и  $\delta$ -образной части  $I$  (рис. 5, в). Время спада заднего фронта импульсов  $U$  и  $I \approx 1$  мкс, а  $E \approx 20$  мкс.

У низкоомных образцов № 2 ВАХ имеют вид, характерный для БАРИТТ-диодов (структура «металл—полупроводник—металл») [8]. Включение магнитного поля приводит к увеличению линейности ВАХ (рис. 6). Временной сдвиг между импульсами  $U$ ,  $E$  и  $I$  для этих образцов отсутствует.

Одним из результатов измерений является обнаружение временного сдвига между импульсами  $U$ ,  $E$  и  $I$  для образцов № 1. Аналогичное явление реализуется в лавинно-пролетных и инжекционно-пролетных диодах [9]. К таким диодам относится и структура «металл—полупроводник—металл», если в приконтактной области образуются барьеры Шотки. Высокое контактное электросопротивление и временной сдвиг между  $U$ ,  $E$  и  $I$  для образца № 1, а также подобие ВАХ образца № 2 и БАРИТТ-диодов свидетельствуют в пользу того, что на границе контакта In—EuTe образуются барьеры Шотки. Становится понятным и сдвиг по времени между  $E$  и  $I$  на  $\delta$ -образную часть импульса тока. Эту часть тока можно отнести к инжекционному току, который образуется во время «прокола» барьера Шотки. Временной сдвиг между  $U$  и  $I$  определяется величиной поля  $E$  и дрейфовой подвижностью носителей заряда. По времени пролета через образец инжектированного избыточного заряда прямым методом была оценена дрейфовая подвижность носителей заряда  $\mu_{dr} = L/\tau E \approx 160 \text{ см}^2 \cdot \text{В}^{-1} \cdot \text{с}^{-1}$ , где  $L$  — длина образца;  $\tau$  — время, на которое сдвинуты  $U$  и  $I$  относительно друг друга.

Уменьшение электросопротивления образца № 1 на три порядка после «прокола» барьера Шотки, а также большое время релаксации ( $\sim 20$  мкс)

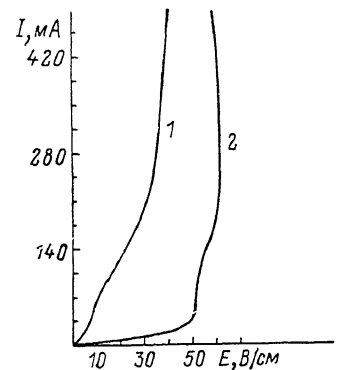


Рис. 6. ВАХ образцов № 2 в отсутствие магнитного поля (1) и в магнитном поле 1 Тл (2) при 4 К.

поля  $E$  к нулевому значению можно объяснить наличием высокой концентрации неглубоких донорных центров. Такие центры в данном соединении могут служить источником избыточного заряда, который возникает во время «прокола» барьера Шотки.

Известно, что ОДП в твердом теле может быть вызвана рядом причин [9]. Не останавливаясь на каждой из них, рассмотрим специфический для магнитного полупроводника эффект генерации магнонов горячими электронами, который может привести к образованию ОДП [4]. Генерация магнонов в АФП возможна при выполнении условия Черенкова  $v_{\text{др}} \geq v_{\text{фаз}}$ . Фазовую скорость спиновых волн можно оценить по формуле

$$v_{\text{фаз}} = 3k_B T_N a / \hbar (S + 1) \sqrt{2Z_2},$$

где  $a$  — параметр решетки,  $S$  — величина спина магнитного иона,  $Z_2$  — число ближайших соседей,  $T_N$  — температура Нееля. В EuTe, где  $a=6.6 \cdot 10^{-8}$  см,  $S=3.5$ ,  $Z_2=6$ ,  $v_{\text{фаз}}$  оказывается порядка  $\approx 1.6 \cdot 10^3$  см·с<sup>-1</sup>. Имея в виду дрейфовую подвижность  $\approx 160$  см<sup>2</sup>·В<sup>-1</sup>·с<sup>-1</sup> и  $E \approx 100$  В·см<sup>-1</sup>, можно видеть, что условие черенковской генерации  $v_{\text{др}} \geq v_{\text{фаз}}$  выполняется. Таким образом, выполненный в [4] расчет ВАХ в связи с эффектом генерации магнонов НЗ для случая без магнитного поля  $H=0$  удовлетворительно описывает экспериментальный результат для EuTe.

Пока нет теории ВАХ для АФП при наличии магнитного поля ( $H \neq 0$ ). Однако экспериментально обнаруженное постепенное ослабление и затем исчезновение области ОДП при увеличении  $H$  могут быть объяснены появлениям энергетического зазора в спектре спиновых волн, а также расщеплением зоны проводимости при появлении намагниченности во внешнем магнитном поле. Указанные изменения в спектрах магнонов и НЗ в АФП EuTe в магнитном поле должны приводить к уменьшению вероятности процессов электрон-магнитного взаимодействия, связанных с переворотом спина, в соответствии с экспериментальным результатом.

Расщепление зоны проводимости во внешнем магнитном поле может быть и причиной отрицательного магнитосопротивления. Действительно, при появлении намагниченности аналогично ферромагнитным соединениям EuO и CdCr<sub>2</sub>Se<sub>4</sub> поляризованное по спину дно зоны проводимости испытывает «красный» сдвиг, в результате чего донорные центры могут попасть в зону проводимости.

Таким образом, можно констатировать, что антиферромагнитный полупроводник EuTe по своим электрическим и магнитным параметрам является благоприятным объектом для исследований электрон-магнитного взаимодействия в антиферромагнетиках.

В заключение авторы выражают благодарность Л. А. Клинковой за образцы, предоставленные для исследований.

#### Список литературы

- [1] Samokhvalov A. A., Osipov V. V., Solin N. I., Gunichev A. F., Korenblit I. Ja., Gal'dikas A. P. // JMMM. 1984. V. 46. P. 191–198.
- [2] Korenblit I. Ja., Samokhvalov A. A., Osipov V. V. // Phys. Rev. Sov. Sci. Rev. 1984. V. 8. P. 449.
- [3] Осипов В. В., Самохвалов А. А., Костылев В. А. // ФТТ. 1987. Т. 29. № 9. С. 2809–2814.
- [4] Карпенко Б. В., Кузнецов А. В., Фальковская Л. Д. // Лит. физ. сб. 1988. Т. 28. В. 2. С. 182–190.
- [5] Самохвалов А. А., Костылев В. А., Гижевский Б. А., Клинкова Л. А., Карпенко Б. В., Кузнецов А. В., Фальковская Л. Д. // Письма в ЖТФ. 1988. Т. 14. № 17. С. 1552–1555.
- [6] Ильин Д. А., Осипов В. В. // ПТЭ. 1984. № 6. С. 96–98.
- [7] Shapira Y., Reed T. B., Oliver N. F. // Phys. Rev. B. 1972. V. 5. N 7. P. 2647–2657.
- [8] Петров Г. В. // Зарубежная радиоэлектроника. 1975. № 2. С. 114–126.
- [9] Пожела Ю. К. Плазма и токовые неустойчивости в полупроводниках. М., 1977. 367 с.